



Revista Cubana de Ciencias Informáticas

ISSN: 1994-1536

ISSN: 2227-1899

Editorial Ediciones Futuro

Reyna-Hernández, Randy; Rosete, Alejandro  
Determinación experimental de la influencia de la reformulación  
del problema RAP en su eficiencia computacional  
Revista Cubana de Ciencias Informáticas, vol. 16, núm. 1, 2022, Enero-Marzo, pp. 62-76  
Editorial Ediciones Futuro

Disponible en: <https://www.redalyc.org/articulo.oa?id=378370413005>

- ▶ Cómo citar el artículo
- ▶ Número completo
- ▶ Más información del artículo
- ▶ Página de la revista en [redalyc.org](http://redalyc.org)



Sistema de Información Científica Redalyc

Red de Revistas Científicas de América Latina y el Caribe, España y Portugal  
Proyecto académico sin fines de lucro, desarrollado bajo la iniciativa de acceso  
abierto

Tipo de artículo: Artículo original  
Temática: Inteligencia artificial  
Recibido: 25/05/2021 | Aceptado: 11/10/2021

## **Determinación experimental de la influencia de la reformulación del problema RAP en su eficiencia computacional**

Experimental determination of the influence of the reformulation of the RAP problem on its computational efficiency

Randy Reyna-Hernández <sup>1\*</sup> <https://orcid.org/0000-0003-1481-9546>

Alejandro Rosete <sup>2</sup> <https://orcid.org/0000-0002-4579-3556>

<sup>1</sup> Universidad de Matanzas. Carretera a Varadero, Km 3½, Matanzas, Cuba. 40100. [randyrh91@gmail.com](mailto:randyrh91@gmail.com)

<sup>2</sup> Universidad Tecnológica de La Habana José Antonio Echeverría. Cujae, Marianao. 19390.  
[rosete@ceis.cujae.edu.cu](mailto:rosete@ceis.cujae.edu.cu)

\*Autor para correspondencia. ([randyrh91@gmail.com](mailto:randyrh91@gmail.com))

---

### **RESUMEN**

El problema de agregación de rankings (RAP, por sus siglas en inglés) busca encontrar un ranking que resuma un conjunto de ellos. Actualmente, el razonamiento sobre la base de ordenamientos o rankings ha ganado atención debido al gran número de aplicaciones para solucionar problemas de toma de decisiones y más recientemente, en informática, estadística, algebra lineal y optimización, la biología computacional entre muchas otras. Dentro del contexto de RAP se encuentra el Problema del Ranking de Kemeny (KRP), donde todos los rankings de entrada son una permutación. El KRP es NP-duro, sin embargo, existe una

formulación donde, a través del método de Programación Lineal Entera (PLE) se le puede dar solución al problema. Como la eficiencia del método de PLE está dada por la cantidad de variables y restricciones, se obtuvo una reformulación del problema que permite reducir ambas dimensiones. En el presente trabajo se demuestra como la reformulación del RAP permite resolver con el mismo software instancias mayores y de resolver las mismas en menos tiempo.

**Palabras clave:** Agregación de Rankings; Programación Lineal Entera; Plugins de KNIME; Problema del Ranking de Kemeny.

## ABSTRACT

The Rank Aggregation Problem (RAP) search for a ranking that summarizes a set of them. Currently, the reasoning based on rankings has gained great attention due to the large number of applications to solve decision-making problems and more recently, in computer science, statistics, linear algebra and optimization, computational biology among many others. A particular case of RAP is the Kemeny Ranking Problem (KRP), where all entry rankings are a permutation. The KRP is NP-hard, however, there is a formulation where, through the method of Integer Linear Programming (PLE), the problem can be solved. As the efficiency of the PLE method is given by the number of variables and restrictions, a reformulation of the problem was obtained that allows both dimensions to be reduced. In the present work it is demonstrated how the reformulation of the RAP allows to solve with the same software major instances and to solve them in less time.

**Keywords:** Ranking Aggregation; Integer Linear Programming; KNIME Plugins; Kemeny Ranking Problem.

---

## Introducción

El Problema de Agregación de Rankings (RAP) es el proceso de combinar múltiples listas de rankings (anglicismo aceptado por la Real Academia de la Lengua Española), denominados “rankings base” en un solo ranking ordenado, denominado como “ranking agregado” que tiende a ser más confiable que los rankings base (Liu, 2019).

En los últimos años el razonamiento sobre la base de ordenamientos o rankings ha ganado gran atención debido a sus disímiles aplicaciones para solucionar problemas de toma de decisiones (Tao, 2019) y más recientemente, bioinformática (Galdi, 2019; Liu, 2019), metabúsquedas (Galdi, 2019), procesamiento del lenguaje natural (Onan & Korukoğlu, 2017), búsquedas web (Kaur, 2021), bibliometría (Subochev, 2018), entre muchas otras.

Para resolver el RAP se han planteado numerosas soluciones, mediante algoritmos como: Ramas y Cotas, (Ali & Meila, 2012) Método de Borda (Xiao, 2017), Método de Copeland (Lestari, 2018), algoritmos genéticos (Aledo, 2018) o First Order Then Append (FOTA) (Aledo, 2021).

Además, se ha estudiado la posibilidad de usar métodos exactos para su resolución (Ali & Meila, 2012), sobre todo, si se puede reducir la dimensión del problema sin afectar la solución, debido a que las dimensiones de estos problemas tienen una influencia directa en el tiempo de ejecución y los recursos necesarios para resolverlos. En este sentido, en (Rosete-Suárez, 2018) se presenta una reformulación del RAP para la solución a través de PLE que permite reducir de manera notable, tanto las variables como las restricciones del problema. Esto no cambia el orden de complejidad temporal del problema, pero crea posibilidades para enfrentar instancias mayores, con ahorro de recursos computacionales.

Por tanto, este trabajo se centra en demostrar cómo se reducen las variables a la mitad y restricciones a un tercio, aproximadamente, así como la influencia directa de la reducción de las variables y las restricciones en el tiempo de ejecución y los recursos necesarios para resolver el problema, a partir de la reformulación del problema de PLE planteada en (Rosete-Suárez, 2018).

El resto del documento está estructurado de la siguiente manera. A continuación, se define el RAP, además de la formulación de PLE para el RAP y la reformulación planteada en (Rosete-Suárez, 2018). Posteriormente, se presentan los resultados de los experimentos realizados que permiten evaluar la mejora

en la eficiencia computacional de la solución del RAP. Por último, se dan a conocer las conclusiones del presente trabajo.

## Métodos

El Problema de Agregación de Ranking (RAP, por sus siglas en inglés) tiene el objetivo de encontrar una permutación que minimiza la distancia respecto a un conjunto de rankings que se reciben como entrada (Chatterjee, 2018). En el RAP es usual representar el conjunto de rankings de entrada en una matriz que los resume a todos, comúnmente llamada Matriz de Precedencia (Aledo, 2021).

### Problema de Agregación de Ranking (RAP)

Partiendo del hecho que existe una matriz  $P$  (Matriz de Precedencia), el RAP pueden ser resueltos a través del método de Programación Lineal Entera (PLE), produciendo una matriz binaria  $X$ , donde cada celda  $X_{uv}$  de la matriz  $X$  indica la relación de precedencia entre el elemento “u” y el elemento “v”. Si celda  $X_{uv} = 1$  entonces “u” precede a “v” y 0 en el caso contrario. Entonces, el objetivo del problema RAP es (Rosete-Suárez, 2018):

$$\text{minimizar } \left( \sum_{u,v} P_{uv}x_{vu} + P_{vu}x_{uv} \right),$$

Sujeto a tres restricciones:

- Restricción 1:  $x_{uv} \in \{0,1\}, \forall_{u,v}$
- Restricción 2:  $x_{uv} + x_{vu} = 1, \forall_{u,v}$
- Restricción 3:  $x_{uv} + x_{vt} + x_{tu} \geq 1, \forall_{u,v,t}$

## Reformulación del Problema de Agregación de Ranking (RAP)

En (Rosete-Suárez, 2018) se plantea una reformulación del RAP para su la solución por PLE, donde se reducen las variables y restricciones del problema original, planteado anteriormente. A continuación, se detalla la reformulación.

Para la reducción de variables es importante notar que realmente cada variable en la Restricción 2 es dependiente del valor de  $X_{uv}$ . Esto implica que se puede describir esta restricción de la manera siguiente:

- $X_{uv} + X_{vu} = 1, \forall u, v$
- $X_{vu} = 1 - X_{uv}, \forall u, v$

Esto trae consigo dos implicaciones directas. Primero, se elimina la Restricción 2, porque ya no habría que comprobar su cumplimiento (no es posible incumplirla). Segundo, se reduce a la mitad la cantidad de variables, debido a que basta con representar los casos donde  $u < v$ , ya que el resto de casos son calculables. De tal forma que ahora la función objetivo podría transformarse de la forma siguiente:

$$\text{minimizar } P_s + \sum_{\substack{u,v \\ u < v}} X_{uv} D_{uv}$$

Donde:

- $P_s$  es un valor constante que se corresponde con la suma de los elementos del triángulo superior de la matriz  $P_{uv}$
- $D_{uv} = P_{vu} - P_{uv}$

Por otro lado, a partir de un análisis en detalle de la Restricción 3, donde se observa que siguiendo el razonamiento que llevó a la reducción de las variables, ahora se podría expresar en función de las variables

$$X_{uv}, u < v.$$

De esta manera, se reducen a dos restricciones de la forma siguiente para cada una de las combinaciones (u, v, t) tales que  $u < v, < t$ .

- $X_{uv} + X_{vt} - X_{ut} \geq 0$ , para  $u < v, < t$
- $X_{uv} + X_{vt} - X_{ut} \leq 1$ , para  $u < v, < t$

### Diseño experimental

Para comprobar la influencia que tiene la reformulación previamente descrita en la eficiencia de la solución de PLE del RAP, se diseñó un experimento basado en medir la eficiencia computacional de ambas formulaciones en 50 conjuntos de datos (dataset) de rankings reales disponibles en (Mattei & Walsh, 2013). En particular, se descargaron ficheros pwg asociados a los siguientes conjuntos de “Datos de Elección”: ED-00006-Skate Data (3–4, 11–12, 18, 28, 46, 48), ED-00011-Web Search (1–2), ED-00014-Sushi Data (1) and ED-00015-Clean Web Search (1–4, 7, 9, 12, 14, 16–20, 23–25, 27, 29–30, 32, 34, 40–42, 44, 46, 48, 50, 54, 55, 57, 59, 65–66, 67, 69, 73, 74, 77).

Todos los experimentos fueron realizados en un ordenador personal con un procesador Intel i7 - 4790, 3.60 GHz, 4 núcleos y 4GB de memoria RAM.

Una descripción general de estos ficheros se muestra en la tabla 1. Por cada conjunto de datos, se muestra el promedio (Pro), la mediana (Med), los valores mínimos (Min) y máximos (Max) y la desviación estándar (DesEst) del número de elementos del conjunto de rankings a agregar (n) y la cantidad de votantes (v).

**Tabla 1** - Descripción de los conjuntos de rankings usados en los experimentos.

	Pro.	Med.	Min	Max.	DesEst.
n	88.66	70	10	242	69.72
v	104.76	4	4	5000	706.42

Para realizar los experimentos fue necesario implementar varios nodos para la herramienta de minería de datos KNIME (Universidad de Constanza, 2020) que permiten cargar los ficheros PWG y a partir de ellos, generar modelos de PLE para ser ejecutados en dos de las herramientas de software libre que solucionan problemas de optimización (comúnmente llamados “solvers”): LiPS (KONOBAY, 2019) y SCIP (Z. I. Berlin, 2017).

## Resultados y discusión

En esta sección se presenta el resultado experimental de las comparaciones entre el Método de Programación Lineal Entera (MPLE) y la Reformulación del Método de Programación Lineal Entera (RMPL) en cuanto a variables y restricciones. De igual forma, se muestra la factibilidad de resolver con cada uno de los softwares (LiPS y SCIP) los modelos de PLE generados desde los nodos de KNIME desarrollados. Por último, se muestra una comparación entre los tiempos empleados en cada par instancia-solver.

### Reducción de variables y restricciones

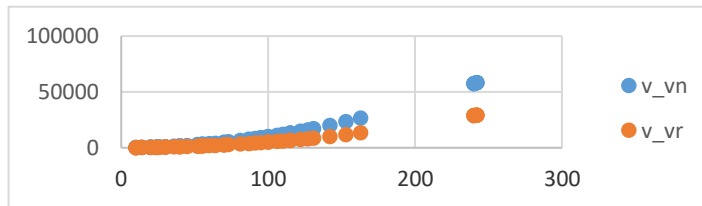
La tabla 2 muestra para cada fichero PWG una comparación entre la cantidad de variables para MPLE (v\_vn) y la cantidad de variables para RMPL (v\_vr). Además, se comparan la cantidad de restricciones para MPLE (r\_vn) y la cantidad de restricciones para RMPL (r\_vr).

**Tabla 2** - Ventajas de RMPL.

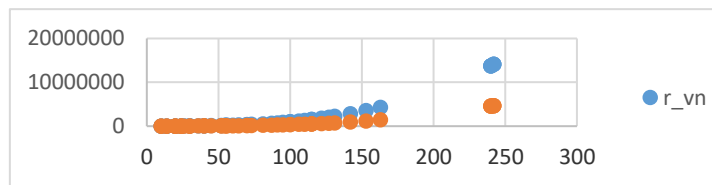
	n	v_vn	v_vr	r_vn	r_vr		n	v_vn	v_vr	r_vn	r_vr
<b>06_03</b>	14	182	91	2366	728	<b>15_09</b>	115	13110	6555	1494540	493810

<b>06_04</b>	14	182	91	2366	728	<b>15_12</b>	100	9900	4950	980100	323400
<b>06_11</b>	20	380	190	7220	2280	<b>15_14</b>	163	26406	13203	4277772	1417122
<b>06_12</b>	20	380	190	7220	2280	<b>15_16</b>	70	4830	2415	333270	109480
<b>06_18</b>	24	552	276	12696	4048	<b>15_17</b>	127	16002	8001	2016252	666750
<b>06_28</b>	24	552	276	12696	4048	<b>15_18</b>	115	13110	6555	1494540	493810
<b>06_46</b>	30	870	435	25230	8120	<b>15_19</b>	87	7482	3741	643452	211990
<b>06_48</b>	24	552	276	12696	4048	<b>15_20</b>	122	14762	7381	1786202	590480
<b>11_01</b>	240	57360	28680	13709040	4550560	<b>15_23</b>	142	20022	10011	2823102	934360
<b>11_02</b>	242	58322	29161	14055602	4665760	<b>15_40</b>	131	17030	8515	2196870	732290
<b>14_01</b>	10	90	45	810	240	<b>15_41</b>	70	4830	2415	328440	109480
<b>15_01</b>	240	57360	28680	13709040	4550560	<b>15_42</b>	100	9900	4950	970200	323400
<b>15_02</b>	240	57360	28680	13709040	4550560	<b>15_44</b>	45	1980	990	85140	28380
<b>15_03</b>	242	58322	29161	14055602	4665760	<b>15_46</b>	40	1560	780	59280	19760
<b>15_24</b>	91	8190	4095	737100	242970	<b>15_48</b>	10	90	45	720	240
<b>15_25</b>	115	13110	6555	1481430	493810	<b>15_50</b>	26	650	325	15600	5200
<b>15_27</b>	95	8930	4465	830490	276830	<b>15_54</b>	60	3540	1770	205320	68440
<b>15_29</b>	106	11130	5565	1157520	385840	<b>15_55</b>	52	2652	1326	132600	44200
<b>15_30</b>	64	4032	2016	249984	83328	<b>15_57</b>	73	5256	2628	373176	124392
<b>15_32</b>	153	23256	11628	3511656	1170552	<b>15_59</b>	55	2970	1485	157410	52470
<b>15_34</b>	55	2970	1485	157410	52470	<b>15_65</b>	40	1560	780	59280	19760
<b>15_04</b>	242	58322	29161	14055602	4665760	<b>15_66</b>	52	2652	1326	132600	44200
<b>15_07</b>	110	11990	5995	1306910	431640	<b>15_67</b>	30	870	435	24360	8120
<b>15_69</b>	81	6480	3240	511920	170640	<b>15_74</b>	20	380	190	6840	2280
<b>15_73</b>	36	1260	630	42840	14280	<b>15_77</b>	56	3080	1540	166320	55440

Las figura 1 y la figura 2 muestran un gráfico comparativo del crecimiento de la cantidad de variables y restricciones, respectivamente, para MPLE y RMPLE.

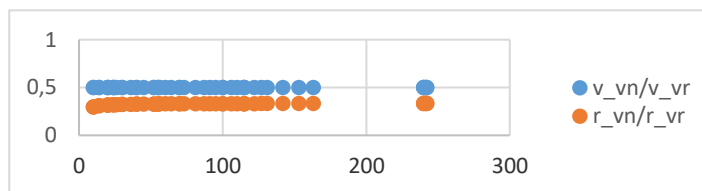


**Fig. 1** – Crecimiento de la cantidad de variables en ambas formulaciones.



**Fig. 2**– Crecimiento de la cantidad de restricciones en ambas formulaciones.

La figura 3 muestra un gráfico comparativo, con la proporción de la reducción de variables y restricciones en RMPLE según crece n.



**Fig. 3** – Reducción de la cantidad de variables y restricciones con RMPLE.

Como se puede apreciar en la tabla comparativa y en los gráficos, con la RMPLE se logra una reducción de la mitad de variables con respecto al MPLE y aproximadamente un tercio de las restricciones.

### **Influencia en la factibilidad para resolver cada instancia con LiPS y SCIP**

La tabla 3 muestra los valores mínimos (min) y máximo (max) de la cantidad de elementos a ordenar (n), la cantidad de variables (v) y la cantidad de restricciones (r) que se pudieron resolver con LiPS y SCIP

respectivamente. Además, se puede apreciar el total de instancias resueltas (t) para cada formulación y el porcentaje (%) que representa del total de instancias.

**Tabla 3 - Rango de valores para las instancias resueltas con LiPS y SCIP para MPLE y RMPLE.**

	LiPS								SCIP							
	n-min	n-max	v-min	v-max	r-min	r-max	t	%	n-min	n-max	v-min	v-max	r-min	r-max	t	%
MPLE	10	10	45	45	240	240	2	4	10	163	45	26406	240	4277772	44	88
RMPLE	10	24	45	276	240	6840	10	20	10	240	45	28680	240	13651680	47	94

Como se puede apreciar en la tabla 3, usando LiPS la reformulación permitió resolver instancias con hasta 24 elementos, mientras que la formulación original solo permitía llegar hasta 10. En tanto, con SCIP llegaron a resolver instancias con 240 elementos mientras que la formulación original llegaba hasta 163 elementos.

### **Influencia en el tiempo para resolver cada instancia con LiPS Y SCIP**

La tabla 4 muestra una comparación en cuanto al tiempo de solución (en segundos) de cada una de las instancias con LiPS para MPLE (LiPS\_tvn) y RMPLE (LiPS\_tvr) y con SCIP para MPLE (SCIP\_tvn) y RMPLE (SCIP\_tvr). Las celdas con espacios en blanco son resultado de instancias que no se le pudo dar solución con el solver debido a sus dimensiones.

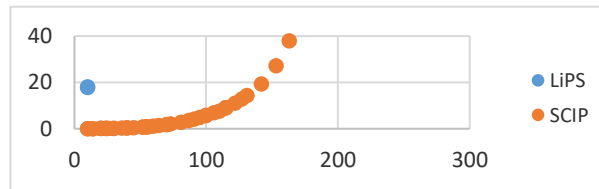
**Tabla 4 - Tiempo de solución de cada instancia (en segundos) con LiPS y SCIP para MPLE y RMPLE respectivamente.**

	n	LiPS_tvn	LiPS_tvr	SCIP_tvn	SCIP_tvr		n	LiPS_tvn	LiPS_tvr	SCIP_tvn	SCIP_tvr
06_03	14		1,516	0,016	0,007	15_19	87			3,566	1,598
06_04	14		0,299	0,017	0,005	15_20	122			10,928	4,596
06_11	20		42,945	0,041	0,023	15_59	55			0,810	0,372
06_12	20		12,762	0,041	0,017	15_65	40			0,306	0,140
06_18	24		54,515	0,063	0,036	15_66	52			0,698	0,316
06_28	24		191,140	0,065	0,040	15_24	91			4,058	1,788

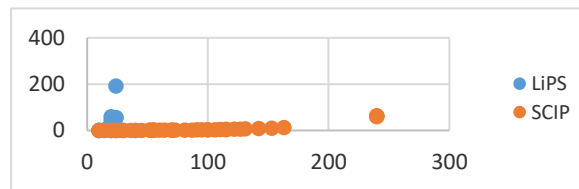
<b>06_46</b>	30			0,129	0,051	<b>15_25</b>	115			9,050	3,802
<b>06_48</b>	24		55,399	0,064	0,030	<b>15_27</b>	95			4,732	2,096
<b>11_01</b>	240				61,310	<b>15_29</b>	106			6,798	2,904
<b>11_02</b>	242					<b>15_30</b>	64			1,318	0,606
<b>14_01</b>	10	17,981	0,063	0,002	0,001	<b>15_32</b>	153			27,170	9,652
<b>15_01</b>	240				62,360	<b>15_34</b>	55			0,806	0,386
<b>15_02</b>	240				58,890	<b>15_40</b>	131			14,314	5,916
<b>15_03</b>	242					<b>15_41</b>	70			1,692	0,786
<b>15_04</b>	242					<b>15_42</b>	100			5,712	2,514
<b>15_23</b>	142			19,290	7,498	<b>15_44</b>	45			0,432	0,204
<b>15_55</b>	52	17,981	17,981	0,694	0,308	<b>15_46</b>	40			0,280	0,146
<b>15_57</b>	73			1,986	0,894	<b>15_48</b>	10	17,727	0,063	0,025	0,002
<b>15_07</b>	110	17,981	17,981	7,578	3,310	<b>15_50</b>	26			0,090	0,034
<b>15_09</b>	115			8,858	3,843	<b>15_54</b>	60			1,036	0,498
<b>15_12</b>	100			5,593	2,684	<b>15_67</b>	30			0,120	0,046
<b>15_14</b>	163			37,900	11,822	<b>15_69</b>	81			2,778	1,306
<b>15_16</b>	70			1,760	0,776	<b>15_73</b>	36			0,204	0,094
<b>15_17</b>	127			12,728	5,264	<b>15_74</b>	20		58,507	0,038	0,010
<b>15_18</b>	115			8,994	3,846	<b>15_77</b>	56			0,850	0,420

Como se puede apreciar en la tabla 4, se pudieron resolver las mismas instancias en un menor tiempo, o sea, las instancias en las nueva formulación se resolvieron empleando menos del 5% del tiempo para LiPS y menos del 50% para SCIP.

Las Figuras 4 y 5 muestran una comparación entre LiPS y SCIP, en cuanto a los tiempos (en segundos) que se demoraron en dar solución a los modelos.



**Fig. 4** – Tiempos de solución para MPLE.



**Fig. 5** – Tiempos de solución para RMPLE.

Como se aprecia en la figura 4 y la figura 5, el tiempo de ejecución para RMPLE de los modelos aumenta de manera menos notable que el tiempo de ejecución de los modelos para MPLE. Este comportamiento demuestra la mayor eficiencia de RMPLE con respecto a MPLE para ejecutar modelos con un mayor número de elementos del conjunto de rankings a agregar.

## Conclusiones

A partir de los experimentos realizados, se puede observar, en primer lugar, cómo el Método de Programación Lineal Entera permite resolver instancias de hasta 10 elementos del conjunto de rankings a agregar usando LiPS y de hasta 163 usando SCIP, mientras tanto, la Reformulación del Método de Programación Lineal Entera, permite resolver instancias con un notable aumento del número de elementos del conjunto de rankings a agregar, hasta 24 usando LiPS y 240 usando SCIP.

Además, en cuanto al tiempo de ejecución de las instancias, también se puede observar que con la Reformulación del Método de Programación Lineal Entera hay una notable mayor eficiencia de las

herramientas LiPS y SCIP para resolver cada una de las instancias, ya que a medida que aumentan los elementos del conjunto de rankings a agregar hay un notable aumento del tiempo con el Método de Programación Lineal Entera, sin embargo, no se hace tan notable el aumento del tiempo al analizar los resultados obtenidos con la Reformulación del Método de Programación Lineal Entera.

Entonces, teniendo en cuenta todos los resultados, quedan claras las ventajas de la Reformulación del Método de Programación Lineal Entera para resolver el Problema de Agregación de Rankings con menos recursos computacionales, o bien, resolver instancias que anteriormente no era posible resolver.

## Referencias

- Aledo, Juan A ; Gámez, José A ; Rosete, Alejandro: Approaching Rank Aggregation Problems By Using Evolution Strategies: The Case Of The Optimal Bucket Order Problem. *European Journal Of Operational Research*, 2018, Vol. 270, No. 3, P. 982–998
- Aledo, Juan A ; Gámez, José A ; Rosete, Alejandro: A Highly Scalable Algorithm For Weak Rankings Aggregation. *Information Sciences*, 2021, Vol. 570, P. 144–171
- Ali, Alnur ; Meila, Marina: Experiments With Kemeny Ranking: What Works When? *Mathematical Social Sciences*, 2012, Vol. 64, No. 1, P. 28–40
- Chatterjee, Sujoy ; Mukhopadhyay, Anirban ; Bhattacharyya, Malay: A Weighted Rank Aggregation Approach Towards Crowd Opinion Analysis. *Knowledge-Based Systems*, 2018, Vol. 149, P. 47–60
- Galdi, Paola ; Fratello, Michele ; Trojsi, Francesca ; Russo, Antonio ; Tedeschi, Gioacchino ; Tagliaferri, Roberto ; Esposito, Fabrizio: Stochastic Rank Aggregation For The Identification Of Functional Neuromarkers. *Neuroinformatics*, 2019, Vol. 17, No. 4, P. 479–496
- Kaur, Parneet ; Wang, Gai-Ge ; Singh, Manpreet ; Singh, Sukhwinder: Rank Aggregation Using Moth Search For Web. En: *International Conference On Innovative Computing And Communications* : Springer, 2021, P. 63–74
- Konobey: Linear Program Solver, [Consultado El: 17 De Agosto Del 2020]. Disponible En: <https://Sourceforge.Net/Projects/Lipside/>

- Lestari, Sri ; Adji, Teguh Bharata ; Permanasari, Adhistya Erna: Performance Comparison Of Rank Aggregation Using Borda And Copeland In Recommender System. En: 2018 International Workshop On Big Data And Information Security (Iwbis) : Ieee, 2018, P. 69–74
- Liu, Yang ; Chen, Ting-Yu ; Yang, Zhi-Yan ; Fang, Wei ; Zhang, Chao: Identification Of Hub Genes In Thyroid Cancer: Robust Rank Aggregation And Weighted Gene Co-Expression Network Analysis. Disponible En: Ssrn 3502353, 2019
- Mattei, Nicholas ; Walsh, Toby: Preflib: A Library For Preferences [Http://Www.Preflib.Org](http://www.preflib.org). Perny, P. ; Pirlot, M. ; Tsoukiàs, A. (Hrsg.): Algorithmic Decision Theory - Third International Conference, Adt 2013, Bruxelles, Belgium, November 12-14, 2013, Proceedings, Lecture Notes In Computer Science, 2013, Vol. 8176, P. 259–270
- Onan, Aytuğ ; Korukoğlu, Serdar: A Feature Selection Model Based On Genetic Rank Aggregation For Text Sentiment Classification. Journal Of Information Science, 2017, Vol. 43, No. 1, P. 25–38
- Rosete-Suárez, Alejandro: Reformulación Eficiente Del Problema De Programación Lineal De Agregación De Rankings. Ingeniería Industrial, 2018, Vol. 39, P. 250–260
- Subochev, Andrey ; Aleskerov, Fuad ; Pisyakov, Vladimir: Ranking Journals Using Social Choice Theory Methods: A Novel Approach In Bibliometrics. Journal Of Informetrics, 2018, Vol. 12, No. 2, P. 416–429
- Tao, Zhifu ; Liu, Xi ; Zhou, Ligang ; Chen, Huayou: Rank Aggregation Based Multi-Attribute Decision Making With Hybrid Z-Information And Its Application. Journal Of Intelligent & Fuzzy Systems, 2019 Vol. 37, No. 3, P. 4231–4239
- Universidad De Constanza: Knime. [Consultado El: 02 De Mayo Del 2020]. Disponible En: [Https://Www.Knime.Com/Downloads](https://www.knime.com/downloads)
- Xiao, Yu ; Deng, Ye ; Wu, Jun ; Deng, Hong-Zhong ; Lu, Xin: Comparison Of Rank Aggregation Methods Based On Inherent Ability. In: Naval Research Logistics (Nrl), 2017, Vol. 64, No. 7, P. 556–565
- Z. I. Berlin: Scip: Solving Constraint Integer Programs. [Consultado El: 22 De Abril Del 2020]. Disponible En: [Https://Www.Scipopt.Org/](https://www.scipopt.org/)

### **Conflicto de interés**

Los autores no reconocen tener ningún conflicto de intereses respecto al trabajo.

### **Contribuciones de los autores**

1. Conceptualización: Randy Reyna Hernández, Alejandro Rosete Suárez
2. Curación de datos: Randy Reyna Hernández
3. Análisis formal: Randy Reyna Hernández, Alejandro Rosete Suárez
4. Investigación: Randy Reyna Hernández, Alejandro Rosete Suárez
5. Metodología: Randy Reyna Hernández, Alejandro Rosete Suárez
6. Administración del proyecto: Randy Reyna Hernández, Alejandro Rosete Suárez
7. Recursos: Randy Reyna Hernández, Alejandro Rosete Suárez
8. Software: Randy Reyna Hernández
9. Supervisión: Alejandro Rosete Suárez
10. Validación: Randy Reyna Hernández
11. Visualización: Randy Reyna Hernández
12. Redacción – borrador original: Randy Reyna Hernández
13. Redacción – revisión y edición: Randy Reyna Hernández, Alejandro Rosete Suárez